

РАСПРОСТРАНЕНИЕ ЛАМИНАРНОЙ СТРУИ ЭЛЕКТРОПРОВОДЯЩЕЙ  
ЖИДКОСТИ В ОДНОРОДНОМ МАГНИТНОМ ПОЛЕ

К. Е. Джаугаитин

(Ленинград)

Распространение плоской ламинарной струи несжимаемой проводящей жидкости в однородном магнитном поле при магнитных числах Рейнольдса, много меньших единицы, рассматривалось в нескольких работах [1-4]. В этих работах исследовалось течение свободной струи в поперечном магнитном поле при малых значениях параметра магнитного взаимодействия. В статье [1,2] путем разложения в ряд по малому параметру взаимодействия вблизи обычного (безмагнитного) решения струи были получены уравнения для первых приближений. Интегрирование уравнений нулевого и первого приближений произведено в работе [3]. Аналогичное решение получено в той же работе и для турбулентной струи при выборе коэффициента турбулентного обмена по схеме Прандтля. Что касается решения, полученного в работе [4], то оно обладает тем недостатком, что в нем осталась не определенной константа интегрирования, связывающая полученные автомодельные профили скорости с реальными.

В настоящей работе дается приближенное решение той же динамической задачи о распространении свободной плоской струи в однородном поле, не связанное с предположением о малости параметра взаимодействия. Для этой цели используется интегральный метод решения, распространенный в обычной гидродинамике [5,6]. Решение задачи обобщается на случай конечного значения параметра Холла.

1. Пусть из бесконечно тонкой щели, расположенной в точке 0, в направлении оси  $x$  бьет струя проводящей жидкости в пространство, заполненное той же, но неподвижной жидкостью (фиг. 1). Будем считать, что область распространения струи находится во внешнем безграничном однородном магнитном поле напряженностью  $H_0$ , ориентированном вдоль оси  $y$ , а магнитное число Рейнольдса  $R_m \ll 1$ .

В рассматриваемом случае уравнения движения и неразрывности, а также граничные условия имеют вид

$$u \frac{\partial u}{\partial x} + v \frac{\partial u}{\partial y} = \nu \frac{\partial^2 u}{\partial y^2} - \sigma \frac{\mu^2 H_0^2}{\rho} u, \quad \frac{\partial u}{\partial x} + \frac{\partial v}{\partial y} = 0 \quad (1.1)$$

$$\frac{\partial u}{\partial y} = 0 \quad \text{при } y = 0, \quad u = \frac{\partial u}{\partial y} = 0 \quad \text{при } |y| = \pm \infty \quad (1.2)$$

Следуя интегральному методу решения, профиль скорости будем искать в виде полинома четвертой степени

$$u = a_0 + a_2 y^2 + a_4 y^4 \quad (1.3)$$

где нечетные члены опущены вследствие симметрии.

Для определения коэффициентов полинома (1.3) потребуем, чтобы выполнялись граничные условия

$$\nu \frac{\partial^2 u}{\partial y^2} - \frac{\sigma \mu^2 H_0^2}{\rho} u_m = u_m \frac{du_m}{dx} \quad \text{при } y = 0 \quad (1.4)$$

$$u = \frac{\partial u}{\partial y} = 0 \quad \text{при } y = \pm \infty$$

Условие при  $y = 0$  получено из исходного уравнения (1.1),  $u_m$  — значение скорости на оси струи [ $u_m = u(x, 0)$ ],  $\delta$  — условная ширина струи.

Определив постоянные  $a_0, a_2, a_4$  и подставив в соотношение (2.3), найдем выражение для искомого профиля скорости

$$u = -\frac{\delta^2}{4} \left( \frac{du_m}{dX} + N \right) u_m F(\varphi), \quad F(\varphi) = 1 - 2\varphi^2 + \varphi^4 \quad (1.5)$$

$$\varphi = \frac{y}{\delta}, \quad X = xv, \quad N = \frac{\sigma \mu^2 H_0^2}{\rho v}$$

Для определения значения скорости на оси струи  $u_m$  и толщины струи  $\delta$  нужно иметь два уравнения. Первое из них получим из выражения для скорости (1.5) на оси струи

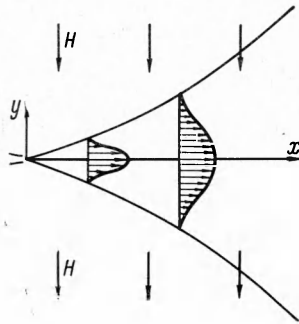
$$1 = -\frac{\delta^2}{4} \left( \frac{du_m}{dX} + N \right) \quad (1.6)$$

Второе уравнение получим из исходных уравнений (1.1), интегрируя их поперек струи

$$\frac{d}{dx} (u_m^2 \delta) + \frac{21}{16} N u_m \delta = 0 \quad (1.7)$$

Из системы уравнений (1.6) и (1.7) получим выражение для максимальной скорости

$$u_m = \delta \left( \frac{11}{16} N + \frac{8}{\delta^2} \right) \frac{dX}{d\delta} \quad (1.8)$$



Фиг. 1

Эффективная толщина струи  $\delta$  определяется из уравнения

$$\delta \left( 8 + \frac{11}{16} N \delta^2 \right) \frac{d^2 \delta}{dX^2} + \left( 4 - \frac{27}{16} N \delta^2 \right) \left( \frac{d\delta}{dX} \right)^2 = 0 \quad (1.9)$$

при граничном условии  $\delta = 0$  для  $x = 0$ . Интегрируя уравнение (1.9), найдем выражение для толщины струи

$$\int_0^{\delta} \frac{V \bar{\delta} d\delta}{(1 + 11/128 N \delta^2)^{65/44}} = Cvx \quad (1.10)$$

Для определения постоянной интегрирования  $C$  проинтегрируем уравнение (1.7), при этом получим

$$u_m^2 \delta + \frac{21}{16} N \int_0^x u_m \delta dx = \text{const} = I_0/k$$

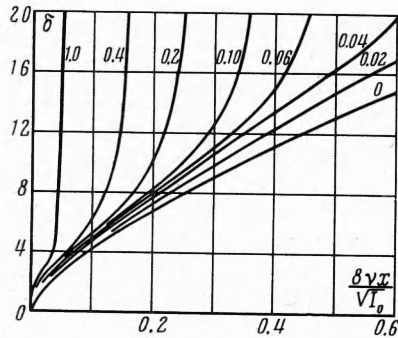
$$\left( k = \int_{-1}^1 F^2 d\varphi = \frac{128}{315} \right) \quad (1.11)$$

Константа интегрирования принята равной  $I_0$  из условия, что член  $u_m^2 \delta k$  при  $x = 0$  определяет начальный импульс струи  $I_0$ .

Используя соотношение (1.10) и (1.11), определим постоянную  $C$ :

$$C = 8\sqrt{k} / \sqrt{I_0} \quad (1.12)$$

Полученные соотношения позволяют определить продольную ( $u$ ) и поперечную ( $v$ ) составляющие скорости, используя равенства (1.8) и уравнение неразрывности.



Фиг. 2

Как видно из выражения для толщины струи  $\delta$  при значении параметра магнитного взаимодействия, отличном от нуля ( $N \neq 0$ ) развитие струи заканчивается на некотором конечном расстоянии от источника, равном  $x \approx 1.35 N^{-3/4} \sqrt{I_1/\nu^2}$ . Толщина струи при этом принимает бесконечно большое значение (фиг. 2), скорость становится равной нулю. Импульс струи падает вдоль оси  $x$ , тем сильнее, чем больше значение параметра  $N$ ; расход струи, пропорциональный величине  $u_m \delta$  с удалением от источника струи ( $u_m \delta = 0$  при  $x = 0$ ) проходит через экстремум, обращаясь снова в нуль при  $x \approx 1.35 N^{-3/4} \sqrt{I_1/\nu^2}$ . При значении  $x$ , соответствующем максимальному значению расхода, меняет знак поперечная компонента скорости. Следовательно, уменьшение расхода струи связано с вытеснением жидкости из струи в окружающую среду.

Заметим, что в области резкого возрастания толщины струи следовало бы учесть влияние соизмеримости поперечного и продольного компонент скоростей и связанное с искривлением линий тока образование градиента давления. Иными словами, применение к этой области уравнений пограничного слоя требует специального рассмотрения.

2. Для сравнения решения, полученного интегральным методом с точным решением (в рамках теории асимптотического слоя), рассмотрим распространение струи в неоднородном поле.

Примем, как и в работе [7], что магнитное поле изменяется обратно пропорционально ширине струи

$$H = H_0 / \delta \tag{2.1}$$

Из системы уравнений (1.6) и (1.7) с учетом (2.1) получим следующие выражения для искомых величин:

$$u = u_m F(\varphi), \quad F(\varphi) = 1 - 2\varphi^2 + \varphi^3, \quad u_m = \frac{1}{C^2} \left( 12 + \frac{3}{8} N \right) x^\alpha \tag{2.2}$$

$$\delta = C x^\beta, \quad \alpha = -\frac{4 + N}{12 + 3/8 N}, \quad \beta = \frac{8 \pm 11/16 N}{12 + 3/8 N} \quad \left( N = \frac{\sigma \mu^2 H_0^2}{\rho \nu C^2} \right) \tag{2.3}$$

Для определения постоянной  $C$  воспользуемся тем, что интеграл вида

$$\int_{-\delta}^{\delta} u^{-\beta/\alpha} dy = D \tag{2.4}$$

не изменяется вдоль оси струи. Из этого условия для  $C$  получим

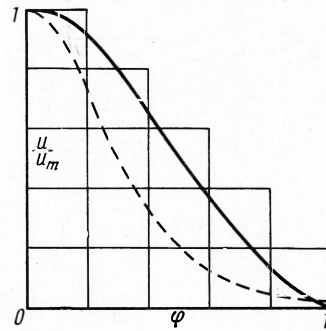
$$C = D^\alpha \left[ \left( 12 + \frac{3}{8} N \right) \left( \int_{-1}^1 [F(\varphi)]^{-\beta/\alpha} d\varphi \right) \right]^{-\alpha}$$

Приведем аналогичные результаты, полученные из точного решения задачи [7]

$$\alpha = -\frac{1}{3} \left( 1 + \frac{N}{2} \right), \quad \beta = -\frac{2}{3} \left( 1 + \frac{N}{8} \right) \tag{2.6}$$

$$\left( N = \frac{\sigma \mu^2 H_0^2}{\rho \nu b^2} \right)$$

$$b = \frac{D^{-\alpha}}{\sqrt{6\nu}} \left( \sqrt{6\nu} \int_{-\infty}^{\infty} (\operatorname{ch} \varphi)^\alpha d\varphi \right)^{-\alpha} \quad (\varphi = bx^\beta y)$$



Фиг. 3

При сравнении решения, полученного интегральным методом, и точного решения следует учесть различие в формулах, определяющих параметры  $N$ .

На фиг. 4 приведено сравнение зависимостей констант автомодельности  $\alpha$  и  $\beta$  от параметра магнитного взаимодействия, где  $N$  вычисляется по формуле (2.6). Как

видно из фигуры, результаты интегрального метода (сплошная линия), относящиеся к изменению максимальной скорости и толщины струи вдоль оси ее, согласуются с аналогичными результатами точного решения (штриховая линия). Из полученных решений следует, что автомодельное решение струи существует при изменении магнитного параметра  $N$  в области  $0 \leq N < 3.4$ . Верхний предел параметра  $N = 3.4$  определяется тем, что в рассматриваемом случае расход струи вдоль оси должен возрастать. Константы автомодельности при этом изменяются, соответственно, в пределах

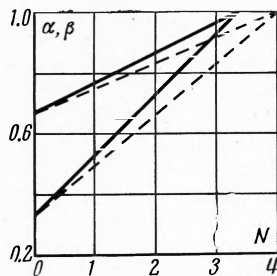
$$-1/3 \geq \alpha > 1, \quad -2/3 \geq \beta > -1$$

Из решений следует также, что для автомодельного растекания струи в магнитном поле необходимо выполнение определенного соотношения между динамической характеристикой струи  $D$  и приложенным магнитным полем  $H_0$ . Физически это обстоятельство, видимо, связано с тем, что при заданных значениях начального импульса струи и параметра, определяющего изменение магнитного поля вдоль оси струи, автомодельное развитие струи осуществится только при одном характерном значении напряженности магнитного поля  $H_0$ .

При предельном значении параметра  $N = 3.4$ ,  $\alpha = \beta = -1$  струя вырождается в течение с постоянным расходом; следовательно, для струи источника расход жидкости равен нулю [4]. Заметим, что именно к этому, на наш взгляд, физически нереальному случаю относится решение в работе [8].

Безразмерные профили скорости в поперечных сечениях приведены на фиг. 3. Из сравнения видно, что распределение скорости по интегральному методу (сплошная линия) заметно отличается от точного решения (штриховая линия). Заметим, что в рассматриваемом случае автомодельный профиль скорости, полученный интегральным методом, имеет тот же вид, что и при чисто гидродинамическом истечении струи.

3. Рассмотрим задачу о распространении струи в однородном магнитном поле с учетом зависимости проводимости от магнитного поля и том же условии  $R_m \ll 1$ . При конечном значении параметра Холла от исходная система уравнений запишется в виде [9,10]



Фиг. 4

$$\begin{aligned} u \frac{\partial u}{\partial x} + v \frac{\partial u}{\partial y} &= \nu \frac{\partial^2 u}{\partial y^2} - \frac{\sigma \mu^2 H_0^2}{\rho (1 + \omega^2 \tau^2)} (u - \omega \tau w) \\ u \frac{\partial w}{\partial x} + v \frac{\partial w}{\partial y} &= \nu \frac{\partial^2 w}{\partial y^2} - \frac{\sigma \mu^2 H_0^2}{\rho (1 + \omega^2 \tau^2)} (w + \omega \tau u) \\ \frac{\partial u}{\partial x} + \frac{\partial v}{\partial y} &= 0 \end{aligned} \quad (3.1)$$

В дальнейшем членом  $\omega \tau w$  в первом уравнении пренебрежем, как это делалось, например, в работах [9,10].

Профили скорости будем отыскивать в виде полиномов

$$u = a_0 + a_2 y^2 + a_4 y^4, \quad w = b_0 + b_2 y^2 + b_4 y^4 \quad (3.2)$$

Определяя коэффициенты из шести граничных условий

$$u_m \frac{du_m}{dx} = \nu \frac{\partial^2 u}{\partial y^2} - N^\circ u_m \quad \text{при } y = 0 \quad (3.3)$$

$$u_m \frac{dw_m}{dx} = \nu \frac{\partial^2 w}{\partial y^2} - N^\circ (w_m - \omega \tau u_m)$$

$$u = w = 0, \quad \frac{\partial u}{\partial y} = \frac{\partial w}{\partial y} = 0 \quad \text{при } y = \delta$$

получим

$$u = -u_m \left( \frac{du_m}{dx} + N^\circ \right) \frac{\delta^2}{4} F(\varphi), \quad F(\varphi) = 1 - 2\varphi^2 + \varphi^4 \quad (3.4)$$

$$w = -\frac{\delta^2}{4} \left[ u \frac{du_m}{dx} + N^\circ (w_m + \omega \tau u_m) \right] F(\varphi)$$

Здесь через  $N^\circ$  обозначен параметр взаимодействия

$$N^\circ = \frac{\sigma \mu^2 H_0^2}{\rho \nu (1 + \omega^2 \tau^2)} \quad (3.5)$$

Для определения  $u_m$  и  $w_m$  имеем следующие уравнения:

$$1 = -\frac{\delta^2}{4} \left( \frac{du_m}{dX} + N^\circ \right), \quad w_m = -\frac{\delta^2}{4} \left[ u_m \frac{du_m}{dX} + N^\circ (w_m + \omega \tau u_m) \right] \quad (3.6)$$

Решение первого уравнения (3.6) и уравнения (1.7) приведено выше (с заменой  $N$  на  $N^\circ$ ). Из системы уравнений (3.6) получим выражение для максимального значения поперечной компоненты скорости]

$$w_m = C u - N \omega \tau u_m \int_0^x \frac{dx}{u} \quad (3.7)$$

Константа интегрирования  $C = 0$ , так как по условию струя не обладает начальной закруткой относительно оси  $y$  ( $uw\delta = 0$  при  $x = 0$ ).

Вычисляя интеграл в выражении (3.7), определим

$$w_m = -\frac{8}{11\omega\tau} u_m \ln(1 + \frac{11}{64} N \delta^2) \quad (3.8)$$

Полученное решение показывает, что в струе возникает движение, поперечное к плоскости течения. С увеличением  $\omega\tau$  скорость бокового течения возрастает. Однако, начиная с некоторого значения  $\omega\tau$ , дальнейшее ее увеличение приводит к уменьшению скорости поперечного движения вплоть до  $w \rightarrow 0$  при  $\omega\tau \rightarrow \infty$ . Продольная компонента скорости  $u$  уменьшается с ростом  $\omega\tau$ , стремясь при  $\omega\tau \rightarrow \infty$  к предельному распределению скорости для истечения непроводящей жидкости (случай  $N = 0$ ).

Полученные решения для распространения струи проводящей жидкости при отсутствии магнитного поля ( $N = 0$ ) переходят в соответствующие решения для чисто гидродинамического истечения.

Следует отметить, что применение интегрального метода к рассмотренной задаче содержится в работе Э. В. Щербины [11].

Поступила 9 IX 1965

#### ЛИТЕРАТУРА

1. P a i S. I., Laminar Jet. Mixing of Electrically Conducting Fluid in a transverse magnetic field. J. Aeronaut. Science 1959, vol. 26, No. 4.
2. T o b a K., Laminar Jet Mixing of an Electrically Conducting Fluid in the presence magnetic field. J. Aeronaut. Science 1961, vol. 28, No. 8.
3. P e s k i n R. L. Hydromagnetic Free Jet. Phys. Fluids, 1963, vol. 6, No. 5.
4. M. R. M o r e a u. Jet libre plan, Laminare, d'un fluide incompressible, en presence d'un champ magnetique transversal. C. r. Acad. sci., 1963, vol. 256, No. 23.
5. Л о й ц я н с к и й Л. Г. Ламинарный пограничный слой. Физматгиз, 1962.
6. Г и н е в с к и й А. С. Турбулентные неизотермические струйные течения сжимаемого газа. Промышл. аэродинамика, 1962, вып. 23.
7. Д ж а у г а ш т и н К. Е. Распространение плоской струи проводящей жидкости. Инж. физ. ж., 1965, т. 8, № 5.
8. С т р а х о в и ч К. И., С о к о в и ш и н Ю. А. Истечение ламинарной струи проводящего газа в пространство с магнитным полем. Инж.-физ. ж., 1962, т. 5, № 10.
9. Л ю б и м о в Г. А. Магнитогидродинамический пограничный слой в среде с анизотропной проводимостью при малых магнитных числах Рейнольдса. ПММ, 1962, т. 26, вып. 6.
10. Г у б а н о в А. И., П у ш к а р е в О. Е. Вязкий пограничный слой в магнитной гидродинамике при конечном  $u\tau$ , Ж. техн. физ., 1962, т. 32, № 6.
11. Щ е р б и н а Э. В. Интегральные методы в теории струй электропроводящей жидкости. «Магнитная гидродинамика», 1965, № 3.